

ملخص

يُعد نموذج الارتفاعات الرقمية ببساطة خريطة رقمية من بيانات الارتفاعات. وتكون هذه البيانات من خلايا تربعية ذات أحجام متساوية كل خلية لها ارتفاعها الخاص بها. وتوجد عدة استخدامات وتطبيقات لنماذج الارتفاعات الرقمية مثل التطبيقات الهندسية والعلمية. وتهدف هذه الدراسة إلى تقدير القدرة على استخلاص شبكة التصريف المائية من نموذج الارتفاعات الرقمية الذي تم إنتاجه من زوج مجسم من صور القمر الصناعي سبوت SPOT. تم مقارنة هذه البيانات مع شبكة التصريف المائية التي تم ترقيمها من الخرائط الطبوغرافية من مقياس ١:٥٠٠٠٠ بنظام UTM ونظام JTM. وتقع منطقة الدراسة في البادية الشمالية من الأردن ، وتبعد مساحتها ٢٠ كم٢ . وبالنسبة لشبكات التصريف المائية لمنطقة الدراسة فإن الاهتمام قد تركز على اشتقاق هذه الشبكات بطريقة آلية. وعلى أية حال فإن هذا يطرح تساؤلاً عن حساسية البيانات الخاصة بالأودية بمصداقية نموذج الارتفاعات الرقمية. تم استخراج نموذج الارتفاعات الرقمية من زوج مجسم من مرئيات القمر الصناعي سبوت باستخدام برنامج

EASI/PACE نقاط فحص الدقة ٣٤ نقطة إحكام أرضية و ١٠ نقاط فحص الدقة CHECK POINTS للقيام بالتصحيح الهندسي للزوج المحسّم من مرئيات القمر الصناعي سبوت. وكانت نتيجة الجدر التربيري لمتوسط مربع الأخطاء البانتميرية للمرئي الأيسر $\pm ٨,٧٦$ م لنقاط الإحكام الأرضية و ٢٤ م عند نقاط فحص الدقة، والمرئي الأيمن $\pm ٩,٦٣$ م عند نقاط الإحكام و $\pm ٢٤,٦٩$ م وكانت مصدافية فحص دقة الارتفاع من نموذج الارتفاعات الرقمي ± ٣ م عند نقاط الإحكام و $\pm ٤,٧٨$ م عند نقاط فحص الدقة.

استخدم برنامج DWCON من برنامج EASI/PACE

ويعد هذا البرنامج إجراء شرطياً لتحليل شبكات التصريف المائية كما طبق نموذج الارتفاعات الرقمية لإنتاج أربعةمجموعات متتالية من البيانات الضرورية لتحليل شبكات التصريف المائية: مجموعة بيانات ارتفاعات رقمية مع على جميع المنخفضات، مجموعة بيانات تشير إلى اتجاه الجريان لكل بكسل، مجموعة بيانات للجريان التراكمي والتي فيها كل بيكسل تتلقى قيمة تساوي العدد الكلي للخلايا التي تصرف مياهها إليها، والمجموعة الرابعة والتي فيها كل بيكسل تساوي الزيادة في القيمة التراكمية في اتجاه الجريان. وتم استخدام برنامج Drain لتحديد شبكات التصريف المائية. كما تم ترقيم شبكات التصريف المائية للمنطقة نفسها من خارطة الأرتنين الطبوغرافية من مقياس ١:٥٠٠٠٠ بنظام إحداثيات UTM ونظام إحداثيات GTM الأردني. وقد أظهرت نتائج طبع شبكة التصريف المائية التي تم ترقيمها من الخرائط الطبوغرافية فوق شبكة التصريف المائية التي تسم استخلاصها من نموذج

الارتفاعات الرقمية بأن شبكة التصريف المائية المنتجة من نموذج الارتفاعات الرقمية أظهرت تطابقاً قريباً ولا تتطابق تماماً مع الشبكة التي تم ترقيمها. ويعزى عدم التطابق التام إلى عاملين، العامل الأول يعود إلى دقة نموذج الارتفاعات الرقمية والعامل الآخر يعود إلى التأثير بعامل التضاريس حيث أظهرت تطابقاً في التضاريس البارزة وعدم تطابق في المناطق المنبسطة والتي ربما تم شق القنوات المائية في المناطق المحيطة وان الاختلاف في الارتفاع ربما مثل بطريقة رديئة في نموذج الارتفاعات الرقمية.

Automatic Extraction of Streams from Digital Elevation Model:

A Case Study in North Badia-Jordan

Abstract

A digital Elevation Model is simply a digital map of elevation data. These data made up of equally sized gridded cells each of which with a unique elevation. There are many uses and applications of DEMs such as engineering and scientific applications. The present study aims to evaluate the ability of extracting stream network using DEM extracted from SPOT satellite stereo-pairs. The data extracted from DEM were compared with stream network digitized from UTM and JTM 1:50000 scale topographic maps. The study area is located in North Badia consisting of 120- km sq. For the stream networks of the study area greater attention was paid to deriving such networks automatically. However this raises the question of how sensitive stream data is to uncertainty in elevation models from which they are derived. DEM of the study area has been extracted from stereo model of SPOT images using EASI/PACE system. The thirty-four ground control points and 10 checkpoints have been used for geometric correction of the stereo model. Geometric accuracy test of RMSE of planimetry for the left image shows \pm 8.76 m at the GCPs and \pm 24.00 m at the check points, while the right shows \pm 9.63m at the GCPS and \pm 24.00 m at the check points. The validation accuracy test of the extracted gridded 20 m resolution DEM show an accuracy test of heights \pm

3.11 m at the GCPs, and \pm 4.78 m at the check points. From the EASI/PACE system a DWCON program have been used. This program is a conditioning procedure for drainage network analysis, and the DEM has been applied in this program to produce the following four data sets that are required for subsequent drainage analysis: a digital elevation data set with depressions filled; a data set indicating the flow direction for each pixel; a flow accumulation data set in which each pixel receives a value equal to the total number of cells that drain to it; and a fourth data set in which each pixel equals the increase in the accumulation value in the flow direction. A drain program has been used to locate drainage networks.

A digitize drainage from 1:50000 scale Al-areatin topographic maps of the same area of UTM and JTM. The results of the superimposed drainage digitized from the topographic maps over the drainage extracted from the DEM show that DEM delineated streams are usually close to but not coincide with mapped streams. Two main factors affected the disagreement. The first factor is related to the accuracy of the DEM. The second factor is affected by topography in which the pronounced topography showed agreement where the flat one showed disagreement. The streams agree in areas of pronounced topography and disagree in flat area. In level areas, the stream channels may be cut into surrounding terrain and the difference in elevation would poorly represented in the DEM.

مقدمة

تُعد فكرة إنشاء نماذج الارتفاعات الرقمية من التطورات الحديثة نسبياً. ويعزى هذا المصطلح إلى اثنين من المهندسين الأميركيتين كانوا يعملان في معهد التكنولوجيا في ماساشوستس (Massachusetts) في أواخر الخمسينيات. وبعد نموذج الارتفاعات الرقمية كما عُرف من قبلهما بأنه تمثيل إحصائي لسطح مستمر من الأرض بأعداد ضخمة من النقاط المختارة بإحداثيات معروفة.

ولنماذج الارتفاعات الرقمية العديد من التطبيقات في مختلف الفروع العلمية عندما يتطلب تحليلاً ثلاثي الأبعاد للظواهر التضاريسية، كما كان للتركيب العددي لنماذج الارتفاعات الرقمية الأثر في تطوير الإجراءات الآوتوماتيكية لاستخراج الظواهر الطبوغرافية مثل الانحدارات واتجاهاتها وكذلك القنوات المائية. وفي مجال الخرائط الطبوغرافية فإن التمثيل الرقمي للتضاريس يشكل أحد العناصر الأساسية في العملية الخرائطية. فقد استخدمت نماذج الارتفاعات الرقمية المستخرجة من الصور الجوية المجسمة أو من المرئيات الفضائية المجسمة في مجالات إنتاج خطوط الكنتور أو في مجال إنتاج خرائط مصورة (Orthoimage) خالية من إزاحة التضاريس. كما استخدمت في إنتاج تضاريس مظللة (Shaded relief) وخرائط الانحدارات واتجاهاتها (Slope & aspect). واستخدمت نماذج الارتفاعات الرقمية أيضاً في المجالات العسكرية إذ أن فهم تضاريس الأرض ذو أهمية

كثيرى للقادة العسكريين في مجال تحديد تبادل الرؤيا (intervisibility) وفي تحليل الأرض لمعرفة قابليتها لحركة الآليات العسكرية وتحديد أفضل المواقع للرادارات وأماكن الصواريخ وأماكن إقامة معدات الاتصالات. أما في المجال الهندسي فقد استخدمت في تصميم الطرق السريعة وخطوط السكك الحديدية وتقدير كميات الحفر والردم، واستُخدمت نماذج الارتفاعات الرقمية أيضاً في مجال الخرائط الجيولوجية والدراسات الجيوفيزيكية وذلك لنموذج السطوح السفلية لتحديد بعض الطبقات الجيولوجية، وكذلك تستخدم في مجال هندسة التعدين لتقدير الكميات في المناجم. وتم استخدامها أيضاً في مجال المياه في تحديد أعماق البحار وفي إنتاج شبكات التصريف المائية.

مبررات الدراسة

استُخدمت نماذج الارتفاعات الرقمية في كثير من التطبيقات ومنها تحديد شبكات التصريف المائية بطريقة آلية وكان معظم هذه النماذج ما انتج بصورة آلية (Automated) من أزواج الصور الجوية أو من الخطوط الكنتورية. أما نماذج الارتفاعات الرقمية المستخرجة من المرئيات الفضائية المجسمة بطريقة آلية فإن استخدامها قليل سواء كان في إنتاج خطوط كنتورية أو في إنتاج شبكات التصريف المائية نظراً لارتفاع ثمنها ولا يقدر على امتلاكها إلا المؤسسات الخرائطية أو مراكز البحوث في الجامعات. كما تتطلب نقاط إحكام أرضية غاية في الدقة. لم يتم استخدام نماذج الارتفاعات الرقمية المستخرجة من المرئيات الفضائية المجسمة في

الأردن في تحديد شبكات التصريف المائية بطريقة آلية، وهذا يطرح السؤال التالي: هل يمكن أن تكون شبكات التصريف المائية المنتجة بهذه الطريقة بديلاً عن الطريقة الفوتوغرافية في ترسي هذه الشبكة ونظرًا لما تتوافر لدى الباحث من معلومات عن منطقة الدراسة تتمثل في المرئيات الفضائية المجمسة، ونقاط الإحكام الأرضية الدقيقة، فقد اختار الباحث منطقة في شمال شرق الأردن (الأردن) لإنتاج شبكة تصريف مائية من نموذج الارتفاعات الرقمية المستخرج من زوج من مرئيات القمر الصناعي SPOT المجمسة.

أهداف الدراسة:

١. تهدف هذه الدراسة إلى إنتاج شبكة التصريف المائية الخاصة بمنطقة الدراسة من نموذج الارتفاعات الرقمية بطريقة آلية باستخدام برنامج EASI/PACE من شركة PCI الكندية.
٢. اختبار مدى فعالية هذا البرنامج ودقة النتائج في إنتاج شبكة التصريف المائية لمنطقة الدراسة عن طريق طبع (Superimposed) شبكة التصريف المائية المنتجة آلية من نموذج الارتفاعات الرقمية المستخرج من مرئيات SPOT المجمسة وشبكة التصريف المائية الموجودة على خرائط مقياس ١:٥٠٠٠٠ لنفس المنطقة بنظام إحداثيات UTM ونظام إحداثيات JTM الأردني والتي تم ترقيمها باستخدام برنامج ARC/INFO.

٣. امكانية تعميم استخدام الطرق الآلية في إنتاج شبكات التصريف المائية في الخرائط الطبوغرافية.

الدراسات السابقة:

لم يتم إجراء دراسات سابقة على المنطقة نفسها، كما لم يتم إجراء أية دراسة من هذا النوع في الأردن باستخدام المرئيات الفضائية المجسمة لإنتاج نموذج الارتفاعات الرقمية واستخراج شبكات التصريف المائية من هذه النماذج. وقد اقتصرت الدراسات السابقة على الدراسة التي قام بها عاشور (١٩٩٨)م بإنتاج شبكة التصريف المائية لوادي راجل في الباية الشمالية باستخدام نموذج ارتفاعات رقمية من كنتورات المنطقة الموجودة على خرائط مقياس ١:٥٠٠٠٠ وباستخدام برنامج **ARC/INFO**.

منهجية الدراسة:

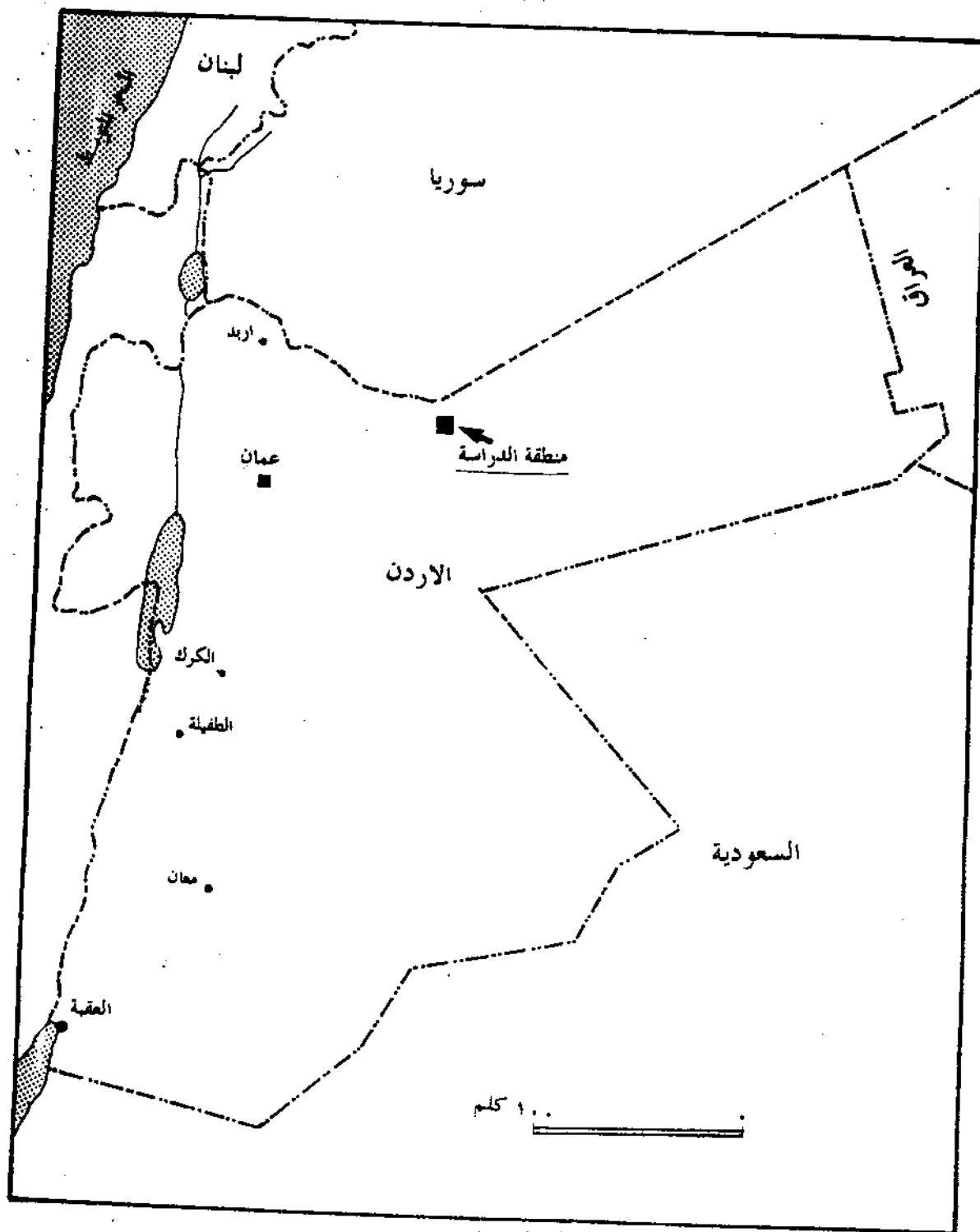
استخدم في الدراسة زوج مجسم من المرئيات الفضائية للقمر الصناعي الفرنسي **SPOT** يغطي منطقة الدراسة والمناطق المجاورة لها. واستخدمت ٣٤ نقطة إحكام أرضية (**Ground Control Points**) و ١٠ نقاط استخدمت كنقاط فحص الدقة (**Check points**) رصدت بأجهزة (**GPS**) لكل من الصورة اليمنى واليسرى بإحداثيات **X, Y, Z** بنظام **UTM** وذلك لتصحيح المرئيات من الأخطاء الهندسية (**Geometric Correction**) واستخدم أحد برامج **EASI/PACE** المسمى (**SMODEL**)

بعد التصحيح تمت معالجة المرئيات لاستخراج نموذج الارتفاعات الرقمية باستخدام **SDEM** أحد برامج **EASI/PACE**. كما تتم اخذ نافذة من نموذج الارتفاعات الرقمية تضمنت منطقة الدراسة لكي يتم معالجتها في أحد البرامج الفرعية التابعة لبرنامج **DWCON** والمعروفة باسم **EASI/PACE** لإنتاج أربع مجموعات من البيانات متطلبا مسبقا لبرامج تحليل شبكات التصريف المائية اللاحقة. كما استخدم برنامج **DRAIN** لتحديث شبكات التصريف من نموذج الارتفاعات الرقمية.

لقد رقمت شبكات التصريف المائية لمنطقة الدراسة الموجودة على خارطة الارتنين مقاييس ١:٥٠٠٠٠ بنظام إحداثيات **UTM** ونظام **JTM** باستخدام طاولة الترقيم وبرنامج **ARC/INFO** وبعد ذلك أدخلت إحداثيات منطقة الدراسة بنظام **UTM** ومن ثم أرسل الملف الخاص بشبكة التصريف المائية إلى برنامج **EASI/PACE** وطوبق مع شبكة التصريف المائية المنتجة من نموذج الارتفاعات الرقمية. واجريت مطابقة بين شبكة التصريف المائية التي رقمت من خرائط **UTM** مع شبكة التصريف المائية التي رقمت بنظام **JTM** الأردني.

منطقة الدراسة:

تقع منطقة الدراسة شمال شرق الأردن في منطقة جبل الارتنين (شكل ١) ويحدها شمالاً جبل الأصفر. وتتحدى من تل الأصفر مجموعة من الأودية الطولية المتوازية الصغيرة باتجاه



شكل رقم (١) موقع منطقة الدراسة في الأردن.

الجنوب وتتصف بكثرة التشعب. كما تتصف المنطقة بطبيعتها الصحراوية البركانية المغطاة بطفوح بازلتية انسابية قديمة.

استخراج نموذج الارتفاعات الرقمية (DEM Extraction)

يمكن تعريف نموذج الارتفاعات الرقمية بأنه تمثيل رقمي للاختلافات المستمرة للتضاريس في الفضاء (Burrough, 1990) ويمكن تخزينه على شكل نقاط معروفة الإحداثيات X, Y, Z موزعة بشكل منتظم وتفصل بينها مسافات متساوية. وينتج نموذج الارتفاعات الرقمية بتلبیس سطح رياضي إلى مجموعة من النقاط معروفة الارتفاع. واستخدم برنامج EASI/PACE في إنتاج نموذج الارتفاعات الرقمية وتمت عملية الإنتاج حسب التسلسل التالي:

- ادخلت الصورة اليمنى واليسرى من مرئيات القمر الصناعي SPOT والمسجلة على CD-ROM إلى الحاسب باستخدام برنامج (CDSPOT).

- لاشك بأن كل المرئيات الرقمية سواء التقطرت بالطائرات أو بالأقمار الصناعية تحتوي على عيوب أو أخطاء هندسية تجعلها غير صالحة كخرائطة. وهناك نوعان من العيوب أو التشوهات منها ما هو معروف مسبقاً ويعزى إلى الخواص الداخلية للمستشعر، والارتفاع، والسرعة، وحركة المركبة، ودوران الأرض، وكلها تصحح في محطات الاستقبال الأرضية، ويحتوي كل مرئي في هذه الحالة على إحداثيات طولية وعرضية واحدة على الأقل. أما العيوب أو التشوهات المتبقية بعد التصحيح الأولى

في محطات الاستقبال الأرضية فتعزى إلى وضع المركبة الفضائية (Position & attitude) إذ تكون مسجلة مع معلومات المرئي على شرط وينزمها نقاط إحكام أرضية لتصحيحها.

استخدم برنامج (GCP WORK) في إدخال نقاط الإحكام الأرضية (GCPs) والبالغ عددها ٣٤ نقطة رصدت بأجهزة GPS وبنظام إحداثيات UTM كما استخدمت ١٠ نقاط إحكام أرضية لتقدير الدقة (Check Points) ولم تدخل في الحسابات، وقد وزعت نقاط الإحكام الأرضية بشكل مبعثر على بعض المعالم المعروفة، والظاهرة على الصورة اليمنى واليسرى كل على حده وعلى الأخص تقاطعات الطرق والأوبيه وبعض المعالم ذات الأشكال التضاريسية حادة الحواف.

واستخدم برنامج (SMODEL) لإجراء التصحيح الهندسي (Geometric Correction) من حيث التوجيه والتعديل لكل مرئي باستخدام المعلومات المدارية ومعلومات عن حالة المستشعر، وكذلك نقاط الإحكام الأرضية إذ أن كل مرئي يتلاءم (fitted) مع نقاط الإحكام الأرضية بطريقة Space resection للصورة اليمنى واليسرى، وكانت نتائج الجذر التربيعي لمتوسط مربع الأخطاء (RMSE) البلاينيمترية للصورة اليسرى $\pm 8,76$ م عند نقاط الإحكام و ± 24 م عند نقاط فحص الدقة (جدول ١)، والصورة اليمنى $\pm 9,63$ م لنقاط الإحكام الأرضية، أما نقاط (Check Points) فقد كانت للصورة اليمنى $\pm 24,69$ م (جدول ٢).

SMODEL Satellite Model Calculation **V6.2 EASI/PACE**
 Using GCPs stored in the GCP segment :

| GCPID | CALCULATED GCP | | RESIDUE (Metre) | | |
|-------|----------------|------------|-----------------|--------|-------|
| | X | Y | X | Y | RMS |
| 101 | 308541.92 | 3559860.77 | 2.08 | 9.65 | 9.87 |
| 112 | 309288.80 | 3582166.07 | -0.85 | 1.10 | 1.39 |
| 113 | 304305.55 | 3580960.03 | 0.61 | -12.77 | 12.79 |
| 111 | 300738.43 | 3576794.01 | 3.48 | 7.48 | 8.25 |
| 114 | 297514.06 | 3574017.35 | 12.33 | 7.04 | 14.20 |
| 123 | 282551.57 | 3570249.60 | -2.64 | -6.82 | 7.31 |
| 119 | 284548.85 | 3563605.90 | -3.06 | 1.72 | 3.51 |
| 124 | 284227.61 | 3556252.00 | 5.88 | -4.55 | 7.44 |
| 135 | 279720.76 | 3554363.75 | -5.75 | -7.10 | 9.14 |
| 136 | 282124.70 | 3547221.45 | 3.87 | 0.67 | 3.92 |
| 133 | 278854.62 | 3542814.59 | -4.19 | 2.75 | 5.01 |
| 140 | 281951.16 | 3535719.16 | 11.04 | -0.88 | 11.08 |
| 141 | 292956.33 | 3536495.92 | -1.17 | 4.50 | 4.65 |
| 142 | 292461.31 | 3547660.83 | -10.51 | -0.91 | 10.54 |
| 137 | 292716.16 | 3551492.32 | -10.45 | -10.41 | 14.75 |
| 163 | 304901.01 | 3532791.70 | 4.62 | 8.92 | 10.04 |
| 162 | 308304.87 | 3542492.89 | 9.43 | 4.66 | 10.52 |
| 146 | 322962.77 | 3563356.05 | -5.44 | 3.17 | 6.30 |
| 148 | 330981.83 | 3561093.96 | -5.19 | -9.24 | 10.60 |
| 158 | 328330.02 | 3556596.96 | -0.47 | -3.60 | 3.63 |
| 157 | 327572.46 | 3553040.11 | 11.35 | -3.46 | 11.77 |
| 151 | 313526.13 | 3552934.24 | -8.78 | 5.71 | 10.47 |
| 152 | 309241.02 | 3554857.65 | -8.03 | 0.96 | 8.09 |
| 154 | 329680.45 | 3548191.66 | 1.19 | 6.69 | 6.79 |
| 159 | 325744.96 | 3543788.78 | -0.66 | -7.34 | 7.37 |
| 164 | 320102.88 | 3536360.71 | -0.72 | -1.88 | 2.01 |
| 125 | 325230.22 | 3568545.54 | -7.08 | 2.62 | 7.55 |
| 149 | 336875.74 | 3557835.87 | 8.30 | -2.18 | 8.58 |
| 129 | 338779.11 | 3569546.53 | 4.41 | -4.48 | 6.29 |
| 126 | 326816.97 | 3574682.84 | 10.11 | 1.30 | 10.19 |
| 168 | 321497.25 | 3574931.99 | -1.27 | 7.07 | 7.18 |
| 127 | 330678.34 | 3582055.04 | 1.04 | 6.34 | 6.42 |
| 145 | 345746.50 | 3571769.59 | -0.54 | 1.36 | 1.47 |
| 150 | 343645.57 | 3563014.72 | -12.40 | -2.37 | 12.63 |
| 155 | 337167.05 | 3549521.02 | -0.43 | -5.71 | 5.73 |

 RMS 6.56 5.80 8.76
 RESIDUE ERRORS FOR CHECK POINTS:

| GCPID | CALCULATED CHECK POINT | | ERRORS (Metre) | | |
|-------|------------------------|------------|----------------|--------|-------|
| | X | Y | X | Y | RMS |
| -102 | 300931.72 | 3557083.04 | -9.90 | 15.54 | 19.42 |
| -110 | 295056.55 | 3566660.30 | 14.64 | -14.90 | 20.90 |
| -116 | 284858.37 | 3573783.10 | 6.91 | 19.44 | 20.63 |
| -118 | 290499.39 | 3561265.60 | -15.01 | 6.79 | 16.48 |
| -153 | 320684.85 | 3549825.77 | -19.50 | 3.89 | 19.88 |
| -167 | 330455.64 | 3528359.06 | -36.21 | 2.49 | 36.30 |
| -165 | 330258.21 | 3534953.53 | -20.17 | -7.49 | 21.51 |
| -163 | 317498.40 | 3530725.16 | -24.06 | -9.71 | 25.95 |
| -169 | 318555.90 | 3585707.16 | 24.68 | -4.44 | 25.07 |
| -171 | 313701.55 | 3569822.94 | -2.86 | -15.60 | 15.86 |
| | | RMS | 20.76 | 12.12 | 24.04 |

(1) (جذر)

779

SMODEL Satellite Model Calculation
GCPIID CALCULATED GCP

V6.2 EASI/PACE
RESIDUE (Metre)

| | X | Y | X | Y | RMS |
|-----|-----------|------------|--------|--------|-------|
| 101 | 308537.56 | 3559859.40 | 7.11 | 11.02 | 13.11 |
| 112 | 309279.96 | 3582171.49 | 7.98 | -4.33 | 9.08 |
| 113 | 304315.88 | 3580948.40 | -9.72 | -1.14 | 9.79 |
| 111 | 300739.87 | 3576796.47 | 2.03 | 5.03 | 5.42 |
| 114 | 297514.21 | 3574021.68 | 12.19 | 2.71 | 12.49 |
| 123 | 282549.80 | 3570242.35 | -0.86 | 0.43 | 0.97 |
| 124 | 284231.35 | 3556251.85 | 2.15 | -4.40 | 4.90 |
| 135 | 279719.40 | 3554359.16 | -4.39 | -2.51 | 5.05 |
| 133 | 278860.73 | 3542814.14 | -10.30 | 3.19 | 10.78 |
| 136 | 262125.43 | 3547222.45 | 3.13 | -0.33 | 3.15 |
| 163 | 304909.73 | 3532787.41 | -4.10 | 13.21 | 13.83 |
| 141 | 292946.21 | 3536494.87 | 8.95 | 5.54 | 10.53 |
| 142 | 292466.46 | 3547663.41 | -15.65 | -3.49 | 16.04 |
| 137 | 292709.63 | 3551496.81 | -3.92 | -14.90 | 15.41 |
| 140 | 281953.34 | 3535724.41 | 8.87 | -6.14 | 10.79 |
| 146 | 322964.65 | 3563357.63 | -7.32 | 1.60 | 7.49 |
| 148 | 330982.78 | 3561090.02 | -6.15 | -5.31 | 8.12 |
| 158 | 328333.13 | 3556590.45 | -3.59 | 2.91 | 4.62 |
| 154 | 329680.36 | 3548195.88 | 1.28 | 2.47 | 2.78 |
| 157 | 327581.71 | 3553032.31 | 1.99 | 4.34 | 4.77 |
| 159 | 325740.73 | 3543783.78 | 3.57 | -4.25 | 5.63 |
| 151 | 312533.68 | 3552937.73 | -16.33 | 2.23 | 16.48 |
| 152 | 309232.36 | 3554854.82 | 0.63 | 3.79 | 3.84 |
| 164 | 320099.54 | 3536361.69 | 2.62 | -2.85 | 3.87 |
| 162 | 308307.58 | 3542493.32 | 6.72 | 4.23 | 7.94 |
| 149 | 336870.05 | 3557832.71 | 13.99 | 0.97 | 14.02 |
| 150 | 343642.68 | 3563013.51 | -9.51 | -1.16 | 9.58 |
| 129 | 338780.95 | 3569530.65 | 2.56 | -8.60 | 8.98 |
| 125 | 325227.26 | 3569549.33 | -4.12 | -1.17 | 4.29 |
| 145 | 345743.65 | 3571770.38 | 2.31 | 0.57 | 2.38 |
| 126 | 326810.31 | 3574678.55 | 16.76 | 5.59 | 17.67 |
| 127 | 330680.89 | 3582057.21 | -1.51 | 4.17 | 4.44 |
| 168 | 321504.31 | 3574938.11 | -8.33 | 0.95 | 9.38 |
| 128 | 331370.57 | 3573361.60 | -7.31 | 0.73 | 7.35 |
| 103 | 294881.73 | 3559728.23 | 7.56 | -3.34 | 8.26 |
| 155 | 337165.93 | 3549826.97 | 0.69 | -11.66 | 11.68 |
| | | RMS | 7.85 | 5.58 | 9.63 |

RESIDUE ERRORS FOR CHECK POINTS:

| | GCPIID | CALCULATED CHECK POINT | X | Y | ERRORS (Metre) |
|------|-----------|------------------------|--------|--------|----------------|
| | X | Y | X | Y | RMS |
| -102 | 300925.01 | 3557036.79 | -3.20 | 11.79 | 12.22 |
| -110 | 295869.06 | 3566646.01 | 2.14 | -0.62 | 2.23 |
| -116 | 284850.17 | 3573790.45 | 15.11 | 12.10 | 19.36 |
| -166 | 330253.73 | 3534348.90 | -15.68 | -2.66 | 15.94 |
| -165 | 317496.11 | 3530726.87 | -21.78 | -11.41 | 24.59 |
| -169 | 318565.78 | 3586711.67 | 14.80 | -8.95 | 17.29 |
| -118 | 290535.20 | 3561262.76 | -50.82 | 9.63 | 51.73 |
| -153 | 320678.83 | 3549831.52 | -13.47 | -1.86 | 13.60 |
| -171 | 313697.83 | 3569825.49 | 0.86 | -19.15 | 18.17 |
| | | RMS | 22.21 | 10.78 | 24.69 |

(T) J.144

٣. استخدم برنامج Epipolar لتعديل وتحويل الصورة اليمنى (rectified, & transformed) مع بقاء الصورة اليسرى دون تعديل لإعطائها شكل هندسيا على شكل خطوط شبه مستقيمة .Quasi

٤. لقد استخرج نموذج الارتفاعات الرقمية عن طريق استخدام برنامج SDEM. وقبل إجراء عملية المعالجة حدد الفاصل بين نقاط الارتفاعات التربيعية (Grid Points) كل ٢٠ مترا. ومن الضروري أن يتم في أثناء عملية المعالجة لاستخراج نموذج الارتفاعات الرقمية بان تتطابق (Match) جميع النقاط في المرئي (الصورة اليسرى) مع جميع النقاط في المرئي الآخر الذي يتدافق معه (overlapping). وتتم المقارنة عادة بين القيم الرمادية في كل من الصورة اليسرى والصورة التي تم تعديلها في المرحلة السابقة بحيث يأخذ في الاعتبار النقاط

أو مجموعة من البيكسل المجاورة للبيكسل التي سيتم المقارنة معها على شكل صفيحة (Template). وينتج عن طريق المطابقة معامل ارتباط لكل بيكسل تتراوح القيم بين صفر حيث لا يوجد ارتباط وبين واحد بحيث يكون هناك ارتباط قوي. كما أن الفرق بين موقع البيكسل ذات الارتباط القوي وبين موقع البيكسل الوسطى في الصفيحة هو السبرالكس (Parallax) الناتج عن التضاريس، وهو حل فوتغرامي تحايلي باستخدام التقاطع الفضائي (Space Intersection).

٥. بعد أن تمت حسابات نموذج الارتفاعات الرقمية اجريت فلترة للتخلص من الشوائب والأخطاء الموجودة في نموذج الارتفاعات الرقمية وقد كان الجذر التربيعي لمتوسط مربع الأخطاء في الارتفاع ± 3 م عند نقاط الإحكام الأرضية و $\pm 4,78$ م عند نقاط فحص الدقة **Check Points** (جدول ٣). كما استخدم نموذج الارتفاعات الرقمية في إنتاج أورثواموج (**Orthoimage**) معدلة وخالية من إزاحة التضاريس وبخصائص هندسية مشابهة للخارطة.

إنشاء قنوات شبكة التصريف المائي:

استخدم البرنامج **DWON** وهو أحد البرامج الفرعية في نظام **EASI/PACE** كما انه أول البرنامج التي يجب استخدامها في عمليات تحديد شبكات التصريف المائية وأحواضها. وعند تشغيل هذا البرنامج باستخدام نموذج الارتفاعات الرقمية، فقد انتجت أربعةمجموعات من البيانات. في المجموعة الأولى، وقبل استخدام نموذج الارتفاعات الرقمية في استخراج الطواهر الهيدرولوجية أوتوماتيكيا، ومن المعروف أن نماذج الارتفاعات الرقمية تحتوي دائما على منخفضات تعيق طريق الحريان السطحي والهدف الأساسي من هذه الخطوة هو إجراء تعديل إذ انه لابد من تنظيف نموذج الارتفاعات الرقمية من النقاط الغائرة، حيث يتم تحديد أية نقطة تربع نقطة غائرة (**Sink**) إذا كان ارتفاعها يساوي أو أقل من ارتفاع النقاط المجاورة في مصفوفة تتالف من 3×3 من النقاط. كما أن من المفترض أن لكل نقطة غائرة على الأقل نقطة بجوارها تسمى نقطة سرج (**saddle point**).

٢٨٢

RMS Error Report on DEM file

| GCP No. | Image Pixel | Image Line | Input Elev. | Calc. Elev. | Diff Elev |
|---------|-------------|------------|-------------|-------------|-----------|
| 101 | 3361 | 2990 | 810.3 | 809.0 | 1.3 |
| 112 | 2912 | 810 | 1094.0 | 1092.0 | 2.0 |
| 113 | 2562 | 1047 | 1154.0 | 1152.0 | 2.0 |
| 111 | 2384 | 1536 | 1105.0 | 1106.0 | -1.0 |
| 114 | 2200 | 1883 | 1060.0 | 1059.0 | 1.0 |
| 123 | 1125 | 2608 | 926.5 | 932.0 | -5.5 |
| 119 | 1435 | 3204 | 836.7 | 837.0 | -0.3 |
| 124 | 1579 | 3924 | 705.6 | 703.0 | 2.6 |
| 135 | 1272 | 4215 | 667.0 | 667.0 | 0.0 |
| 136 | 1626 | 4849 | 611.1 | 605.0 | 6.1 |
| 133 | 1476 | 5354 | 589.2 | 584.0 | 5.2 |
| 141 | 2708 | 5627 | 541.5 | 541.0 | 0.5 |
| 142 | 2415 | 4558 | 675.2 | 676.0 | -0.8 |
| 137 | 2346 | 4181 | 709.0 | 710.0 | -1.0 |
| 163 | 3699 | 5699 | 536.5 | 536.0 | 0.5 |
| 162 | 3735 | 4678 | 603.4 | 602.0 | 1.4 |
| 146 | 4360 | 2304 | 707.8 | 703.0 | 4.8 |
| 148 | 5004 | 2330 | 653.1 | 652.0 | 1.1 |
| 158 | 4909 | 2830 | 646.4 | 647.0 | -0.6 |
| 157 | 4933 | 3193 | 643.2 | 652.0 | -8.8 |
| 151 | 3892 | 3541 | 716.6 | 716.0 | 0.6 |
| 152 | 3527 | 3458 | 751.1 | 748.0 | 3.1 |
| 154 | 5198 | 3612 | 626.0 | 633.0 | -7.0 |
| 159 | 5007 | 4133 | 634.0 | 635.0 | -1.0 |
| 164 | 4757 | 4988 | 627.5 | 627.0 | 0.5 |
| 125 | 4412 | 1746 | 747.5 | 749.0 | -1.5 |
| 149 | 5511 | 2504 | 644.1 | 646.0 | -1.9 |
| 129 | 5391 | 1323 | 720.9 | 724.0 | -3.1 |
| 126 | 4391 | 1113 | 758.2 | 756.0 | 2.2 |
| 168 | 3989 | 1217 | 793.9 | 795.0 | -1.1 |
| 127 | 4510 | 306 | 741.4 | 739.0 | 2.4 |
| 145 | 5854 | 940 | 767.2 | 766.0 | 1.2 |
| 150 | 5893 | 1839 | 701.7 | 701.0 | 0.7 |
| 155 | 5711 | 3274 | 631.5 | 636.0 | -4.5 |

No. of GCP Points within DBIW window : 34

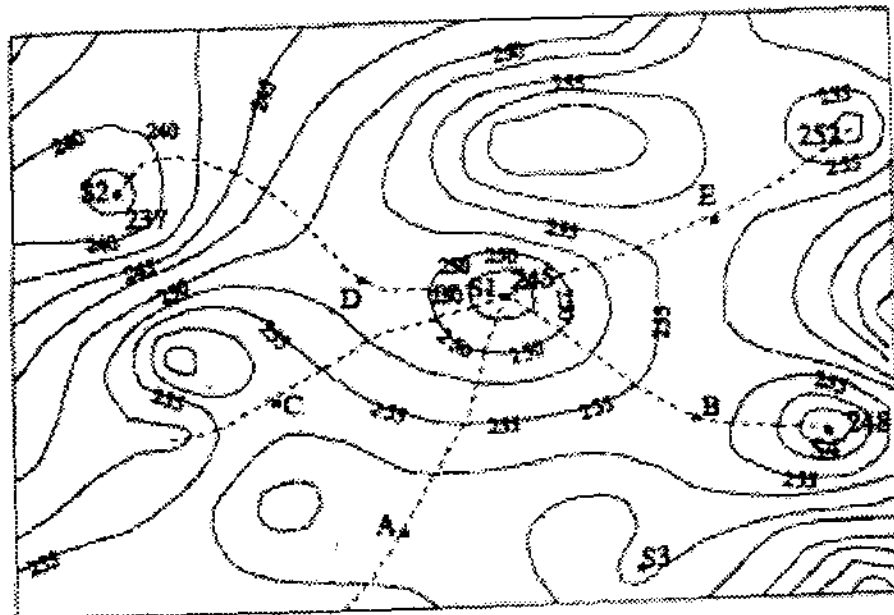
Root Mean Sq. Error of elevation (m) : 3.11009

| Check Pt. | Image Pixel | Image Line | Input Elev. | Calc. Elev. | Diff Elev |
|-----------|-------------|------------|-------------|-------------|-----------|
| -102 | 2847 | 3442 | 797.7 | 795.0 | 2.7 |
| -110 | 2241 | 2636 | 942.6 | 942.0 | 0.6 |
| -116 | 1223 | 2210 | 990.8 | 992.0 | -1.2 |
| -118 | 1951 | 3288 | 848.0 | 845.0 | 3.0 |
| -153 | 4495 | 3670 | 629.8 | 631.0 | -1.2 |
| -167 | 5699 | 5514 | 596.8 | 607.0 | -10.2 |
| -166 | 5536 | 4880 | 594.1 | 602.0 | -7.9 |
| -165 | 4691 | 5596 | 605.4 | 610.0 | -4.6 |
| -169 | 3504 | 147 | 954.6 | 950.0 | 4.6 |
| -171 | 3524 | 1900 | 886.8 | 886.0 | 0.8 |

Root Mean Sq. Error of elevation (m) : 4.78477

(٣) حمل

ونقطة السرج هي نقطة تربع (Grid) لها على الأقل نقطتان بجوارها أعلى منها ونقطة أخرى مجاورة ليست أعلى منها (Hutchinson, 1989). ويقوم البرنامج بربط نقاط السرج بالنقاط الغائرة بالبحث باتجاه المنحدرات خارج نقاط السرج حتى يصل إلى النقاط الغائرة. والشكل (٢) يوضح نقاط السرج A، B، C، D مرتبطة مع النقاط الغائرة. ثم يتم إدخال سلسلة للربط بين النقاط الغائرة، وهذه السلسلة التي تربط بين النقاط تبدأ حسب تسلسل الارتفاع من الأعلى إلى الأدنى أو حتى تلتقي مع سلسلة ربط أخرى. ويقوم البرنامج بفتح ممر للجريان بين النقاط الغائرة على طول سلسلة الربط بينها، وقد يتطلب الأمر أحياناً تعديل قيمة النقاط الغائرة ونقطات السرج للسماح للجريان خارج هذه النقاط.



شكل (٢) ارتباط النقاط الغائرة مع نقاط السرج بواسطة خطوط الجريان المؤشرة بخطوط منقطة (Hutchinson, 1989)

أما في المرحلة الثانية فيتم فيها إنشاء اتجاه الجريان. فاتجاه الجريان الخلية هو اتجاه جريان المياه خارج الخلية حيث ترمز لتنطبق مع اتجاه إحدى الخلايا الثمانية التي تحيط بالخلية (x) ويقوم على مبدأ اتجاه الجريان المنفرد حيث أنه من المفترض أن تجري المياه خارج كل خلية إلى إحدى الخلايا الثمانية المجاورة لها في مصفوفة 3×3 (شكل ٣) كما أن الجريان يكون في اتجاه أعمق إنحداراً وذلك حسب المعادلة التالية:-

$$S = \frac{\Delta Z}{A}$$

حيث إن:-

S = الانحدار،

Z = التغير في الارتفاع بين الخلايا،

D = المسافة بين الخلايا

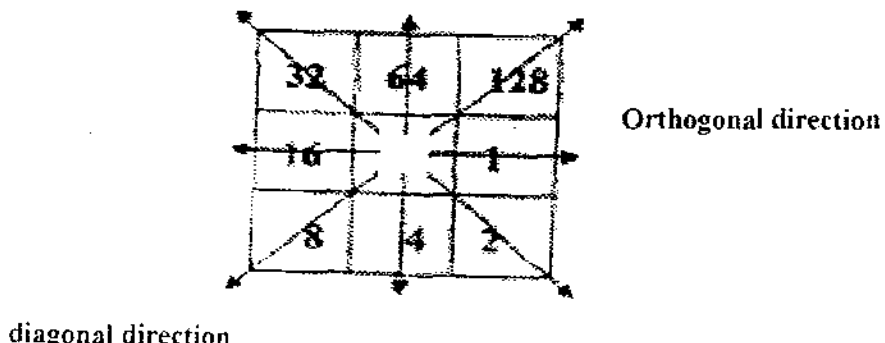
والمسافة بين الخلايا يمكن الحصول عليها مماثلي:-

المسافة D تساوي $1 \times$ حجم الخلية للخلية المتعامدة،

المسافة D تساوي جذر $2 \times$ حجم الخلية للخلية القطرية .

وإذا كان جريان الخلية X في المصفوفة لليسار على سبيل المثال فإن اتجاه الجريان سوف يرقم ٣٢ كما أن اتجاه الجريان يرقم بقوة اثنان. كما أن اتجاه الجريان المنفرد يدل على أن جميع كميات المياه والتي تجتمع عند موقع الخلية سوف تجري خارج الخلية إلى أحد الخلايا المجاورة لها. وفي دراسة قام بها

(Quinn et al. 1993) أوضحت بان فكرة اتجاه الجريان المنفرد يعطي الانطباع بالتركيز السريع بالجريان على الأرض في القنوات، بينما الجريان المتعدد الاتجاهات يوضح نمطاً أكثر معقولية لتوزيع الجريان الأرضي. أو بمعنى آخر عندما الجريان المائي يصل القناة فإنه يجري بطريقة مركزة ولذلك فان اتجاه الجريان المنفرد يمثل جريان في القناة افضل من الجريان المتعدد الاتجاهات والذي يميل لإعادة توزيع الجريان خارج القناة.



شكل (٢) 3×3 من الخلايا توضح إتجاهات الجريان خارج الخلية الوسطى

إنشاء القنوات:

لقد استخدم برنامج Drain لتحديد مجاري شبكة التصريف المائية ضمن نموذج الارتفاعات الرقمية. وتتألف شبكة التصريف المائية من عقد (Nodes) وروابط (Links). فالعقد تمثل نقاط التقاء قسمين من شبكة التصريف. العقد الخارجية لشبكة التصريف تسمى المصدر (Tarboton et al, 1993). والربط هي أقسام القناة التي تربط بين العقد. كما أن الرابط تصنف بروابط داخلية

وخارجية. فالروابط الداخلية هي الأقسام التي تربط بين العقد ، بينما الروابط الخارجية فهي الأقسام التي تربط المصدر والعقدة.

أما عملية إنشاء القنوات من تراكم الجريان تتألف من اختيار الخلايا التي يزيد فيها التراكم الجرياني عن قيمة محددة (Threshold value) . ومن المهم هنا تقرير العتبة التي على أساسها سوف يتم اشتقاق أو استخراج القنوات. فقد أشار تاربتون وآخرون (Tarboton et al, 1993) إلى أن كثافة القنوات يجب أن تكون متساوية للخطوط الزرقاء على الخريطة الطبوغرافية. وقد حددت كثافة شبكة التصريف من قبل Horton طبقا إلى تاربتون وآخرين كما يلي:

حيث ان :

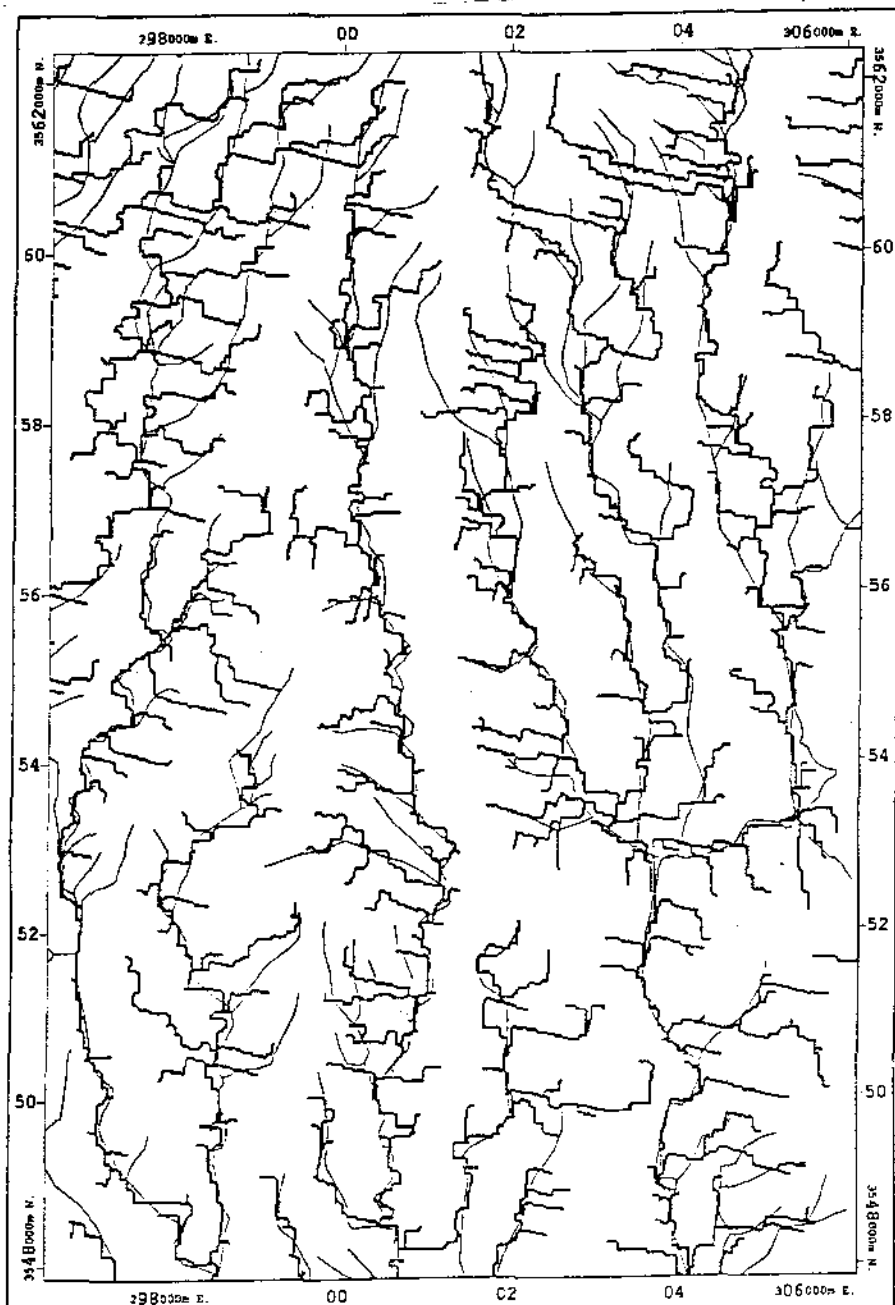
$$(D)_d = \frac{L}{A}$$

$(D)_d$

تمثل كثافة التصريف المائية، L = طول القنوات كم، A = مساحة المنطقة كم²

وقد تم اختيار عدد من القيم المحددة ٢٥٠ و ٤٠٠ بكميل أعطت نتائج متباعدة لكتافة شبكات التصريف المائية كما موضح بالشكل (٤) لعلبة قيمتها ٤٠٠.

288



Superimposed Drainage from DEM over Digitised from JTM
Thick lines from DEM

1:75 000 Scale

Kilometres 1 0 1 2 3 4 5 6
Miles 1 0 1 2 3

(1) 52

ترقيم شبكة التصريف المائية

استخدمت طاولة الترقيم في إدخال شبكة التصريف المائية لمنطقة الدراسة. ووضعت خريطة منطقة الدراسة على طاولة الترقيم. ثم حددت المنطقة بعد أن ربطت طاولة الترقيم بجهاز الحاسب. وبعد ذلك أدخلت أربع نقاط مرجعية بدقة وهي حدود منطقة الدراسة واستخدام برنامج **Arcedit** وهو أحد البرامج الفرعية لبرنامج **ARC/Info** لإدخال شبكة التصريف المائية للمنطقة نفسها التي تم استخراج شبكة التصريف المائية لها من نموذج الارتفاعات الرقمية. وبعد إنجاز عملية الإدخال والتصحيح حول نظام الإحداثيات المرجعية الأولية إلى نظام إحداثيات حقيقة بنظام **UTM** عن طريق أخذ هذه الإحداثيات من الخريطة وإدخالها عن طريق لوحة المفاتيح. وأجريت عملية إرسال الملف الذي يحتوي على شبكة التصريف المائية المرقمة على هيئة **Ungenerate file** لكي يتم استقبالها من برنامج **EASI/PAGE**. استخدم البرنامج **Fimport** لتحويلها إلى الفورمات الخاصة بنظام **EASI/PAGE**. أما الخريطة الثانية التي في نظام **JTM** الأردني فقد رقمت بنفس الطريقة السابقة وحول نظام إحداثياتها إلى نظام **UTM** وصدر الملف الخاص بها إلى نظام **EASI/PAGE** الكدي.

تقييم شبكات التصريف المائية

لتقييم مدى دقة قنوات التصريف المائية المنتجة من نموذج الارتفاعات الرقمية باستخدام برنامج (EASI/PACE) فقد أجريت التجارب التالية:

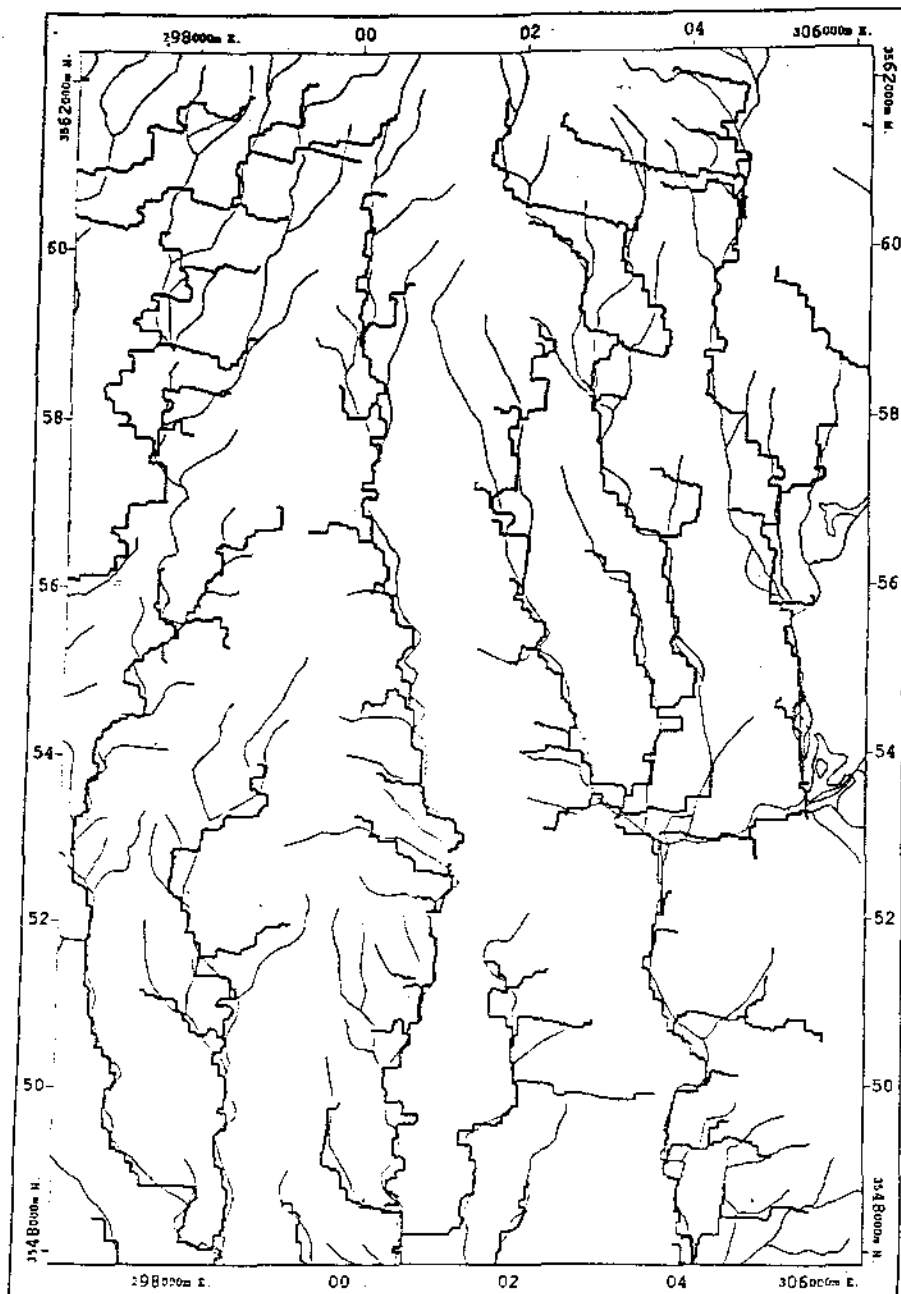
١. وضعت شبكة التصريف المائية المرقمة من خريطة الارتباط بمقاييس ١:٥٠٠٠٠ بنظام UTM فوق نفس شبكة التصريف المائية المنتجة من نموذج الارتفاعات الرقمية (Superimposed) ووجد أن هناك تطابقاً في المجرى الرئيس وتقاطعاً وعدم تطابقاً في الروافد الفرعية (شكل ٥). كما وجد أن التطابق أكثر في المناطق ذات التضاريس البارزة، بينما في المناطق المستوية فإن القنوات المائية ربما يكون مجرىها قد تم تشكيله في المناطق المجاورة وإن الاختلاف في الارتفاع يمكن أن يمثل بطريقة ضعيفة في معظم نماذج الارتفاعات الرقمية. إذ أن وجود أية أخطاء في المواقع بالنسبة للشرقيات والشماليات له اثر على قيم الارتفاع في تلك المواقع، وإن مثل هذه الأخطاء لها ارتباط مكاني وثيق. وبما أن السطح الرياضي لا ينطبق تماماً مع سطح الأرض نتيجة لاختلاف السطح الرياضي من حيث الدقة البلانيتمترية واللاتيمترية فإن أخطاء الارتفاع انعكست على تحديد المجرى المائي وخاصة في الأراضي المنبسطة

(Goodchild and Han, 1995; Fisher, 1994)

٢. وضعت شبكة التصريف المائية التي رقمت من الخرائط الأردنية JTM ووجد أن هناك تطابقاً أفضل من السابق (شكل ٦)

ويعزى ذلك إلى أن هذه الخرائط أحدث من السابقة وليس فيها انكماش علما بأن هذه الخرائط مأخوذة من المصدر السابق والشكل (٧) يبين شبكة التصريف المائية من خرائط UTM مطبوعة فوق شبكة التصريف المائية المرقمة من خرائط JTM.

٣. وضعت أيضاً شبكة التصريف المائية المرقمة من خارطة الأرتنين بنظام UTM فوق الأورثواماج (الخريطة المchorة) لمنطقة الدراسة، ووجد أن هنالك تطابقاً مع مجاري الأودية (شكل ٨).



Superimposed Drainage from DEM over Digitised from UTM ^{SPCI}

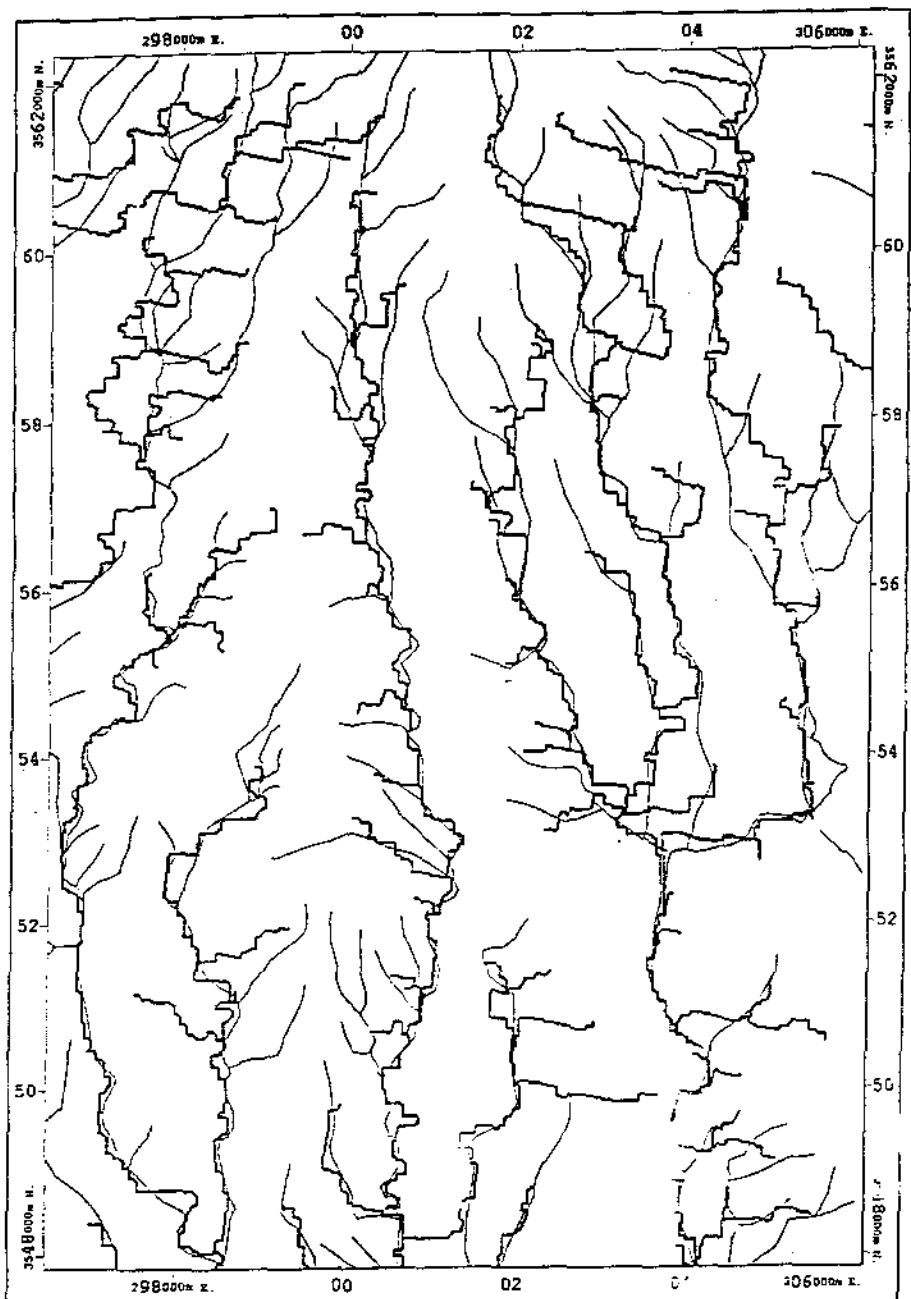
Thick lines from DEM

1:75 000 Scale

| | | | | | | | |
|------------|---|---|---|---|---|---|---|
| Kilometres | 0 | 1 | 2 | 3 | 4 | 5 | 6 |
| Miles | 0 | 1 | 2 | 3 | 4 | 5 | 6 |

شکر (۲)

٢٩٢



Superimposed Drainage from DEM over Digitised from JTM ^{SMC}

Thick lines from DEM

1:75 000 Scale

Kilometres 1 0 1 2 3 4 5 6
Miles 1 0 1 2 3

شكل (٣)

٢٩٣



Superimposed Drainage Digitized from Maps

Thin lines from UTM Thick lines from JTM

1:120 000 Scale

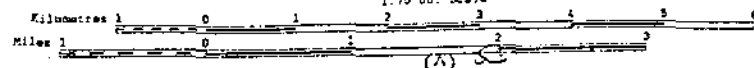
دك (٧)



Superimposed Drainage Digitized from Map over Orthoimage

Drainage from JTM Map

1:70 000 Scale



الخلاصة:

إن إنشاء شبكة التصريف المائية أوتوماتيكيا لها فوائد قيمة تعطي المستخدم شبكة متصلة من شبكات التصريف المائية التي يمكن أن تستخدم لنمذجة الجريان السطحي، وتلعب الدقة البلاينيتية ودقة نموذج الارتفاعات الرقمية بالإضافة إلى القدرة التمييزية دورا فاعلا في دقة شبكات التصريف المائية. كما أن شبكة التصريف المائية أو مجاري الأودية التي تم اشتراطها من نموذج الارتفاعات الرقمية قد أظهرت بعد التطابق التام وخاصة في المجاري الثانية بعد أن قورنت بشبكة التصريف المائية التي رقمت من الخرائط الطبوغرافية التي جمعت بطريقة المسح الجوي، وقد يعزى ذلك إلى أن حساسية شبكات التصريف للأخطاء في نموذج الارتفاعات الرقمية منخفضة في التضاريس البارزة وكبيرة في المناطق المستوية. ونظرا لعدم التطابق التام بين شبكات التصريف المائية المنتجة بطريقة آلية وبين شبكات التصريف المائية التي رقمت من الخرائط الطبوغرافية فإنه لا يمكن الاعتماد على الطريقة الآلية أن تكون بديلا عن الطريقة الفوتوغرامترية في إنتاج شبكات التصريف المائية.

Reference

- Abu Ashour, R.S. 1998. An Evaluation of Geographic Information Systems for Surface Studies in the Badia Region of Jordan, Unpublished Thesis Presented for the Degree of Master Science, University of Glasgow. 169p.
- Burrough, P. 1990. Principles of Geographic Information Systems for Land Resources Management. Clarendon Press, Oxford.
- Fisher, P. F.. 1994. Probable and Fuzzy Models of the Viewshed Operation, In: Innovations in GIS 1, (Ed. M.F. Worboys) Taylor and Francis, pp 161-176.
- Goodchild, M.F and Han, X. 1995. The Effects of Topographic Error in GIS. International Journal of Geographic Information Systems. Vol. 9 (2).
- Hutchinson, M. 1989. A new Procedure for Gridding Elevation and Stream Line Data with Automatic Removal of Spurious Pits. Journal of Hydrology, 106, 211-232.
- Quinn, P., Beven, K., Chevallier, P. and Planchon, O. 1993. The Prediction of Hillslope Flow Paths for Distributed Hydrological Modelling Using Digital Terrain Models. In: Terrain Analysis and Distributed Modelling in Hydrology (Edited by Beven, K. and Moore, I.) John Wiley & Sons, Chichester. 63-83.
- Tarboton, D., Bras, L., and Rodriguez-Iturbe, I. 1993. On the Extraction of Channel Networks from Digital Elevation Data. In : Terrain Analysis and Distributed Modelling in Hydrology (edited by Beven, K. and Moore, I.) John Wiley & Sons, Chichester. 85-104.